

Supporting Information

Effect of Charge Distribution on the Dynamics of Polyampholytic Disordered Proteins

Dinesh Sundaravadivelu Devarajan,[†] Shiv Rekhi,[†] Arash Nikoubashman,[‡] Young C. Kim,[¶] Michael P. Howard,[§] and Jeetain Mittal^{*,†}

[†]*Artie McFerrin Department of Chemical Engineering, Texas A&M University, College Station, TX 77843, United States*

[‡]*Institute of Physics, Johannes Gutenberg University Mainz, Staudingerweg 7, 55128 Mainz, Germany*

[¶]*Center for Materials Physics and Technology, Naval Research Laboratory, Washington, DC 20375, United States*

[§]*Department of Chemical Engineering, Auburn University, Auburn, AL 36849, United States*

E-mail: jeetain@tamu.edu

Phone: (512) 699-4643

	SCD	nSCD
EKE	-0.4131	0.000
KEKKKEKEEEEKKEKEKKEEKEKEEKEEKEEKEEKEEKEEKEEKEEKEEKEEKEEKEE	-0.8686	0.017
KEKKKEKEEKEEKEKEEKEEKEEKEEKEEKEEKEEKEEKEEKEEKEEKEEKEEKEEKEE	-1.0960	0.025
KEKKKEKEEEEKEEKEEKEEKEEKEEKEEKEEKEEKEEKEEKEEKEEKEEKEEKEEKEE	-1.3237	0.033
KEKEKEKKEEKEEKEEKEEKEEKEEKEEKEEKEEKEEKEEKEEKEEKEEKEEKEEKEEKEE	-1.5513	0.041
EKKEKEEKEEKEEKEEKEEKEEKEEKEEKEEKEEKEEKEEKEEKEEKEEKEEKEEKEE	-1.7793	0.050
EEKKEKEEKEEKEEKEEKEEKEEKEEKEEKEEKEEKEEKEEKEEKEEKEEKEEKEEKEE	-2.0067	0.058
EEKKEKEEKEEKEEKEEKEEKEEKEEKEEKEEKEEKEEKEEKEEKEEKEEKEEKEEKEE	-2.0347	0.059
EKEEKEEKEEKEEKEEKEEKEEKEEKEEKEEKEEKEEKEEKEEKEEKEEKEEKEEKEE	-2.0698	0.060
EEKKEEKEEKEEKEEKEEKEEKEEKEEKEEKEEKEEKEEKEEKEEKEEKEEKEEKEEKEE	-2.1291	0.063
EEKKEEKEEKEEKEEKEEKEEKEEKEEKEEKEEKEEKEEKEEKEEKEEKEEKEEKEEKEE	-2.1581	0.064
EKEKEEKEEKEEKEEKEEKEEKEEKEEKEEKEEKEEKEEKEEKEEKEEKEEKEEKEEKEE	-2.1866	0.065
EKEKEEKEEKEEKEEKEEKEEKEEKEEKEEKEEKEEKEEKEEKEEKEEKEEKEEKEEKEE	-2.2170	0.066
KKEEKEKEEKEEKEEKEEKEEKEEKEEKEEKEEKEEKEEKEEKEEKEEKEEKEEKEEKEE	-2.2417	0.067
EEKEKEEKEEKEEKEEKEEKEEKEEKEEKEEKEEKEEKEEKEEKEEKEEKEEKEEKEE	-3.1560	0.100
EEKEKEEKEEKEEKEEKEEKEEKEEKEEKEEKEEKEEKEEKEEKEEKEEKEEKEEKEE	-4.0707	0.133
EEKEKEEKEEKEEKEEKEEKEEKEEKEEKEEKEEKEEKEEKEEKEEKEEKEEKEEKEE	-4.9860	0.167
EKKEKEEKEEKEEKEEKEEKEEKEEKEEKEEKEEKEEKEEKEEKEEKEEKEEKEEKEE	-5.8993	0.200
KEEKEKEEKEEKEEKEEKEEKEEKEEKEEKEEKEEKEEKEEKEEKEEKEEKEEKEEKEE	-6.8134	0.233
EEEEKEEKEEKEEKEEKEEKEEKEEKEEKEEKEEKEEKEEKEEKEEKEEKEEKEEKEE	-7.7272	0.267
EEKEEKEEKEEKEEKEEKEEKEEKEEKEEKEEKEEKEEKEEKEEKEEKEEKEEKEEKEE	-8.6394	0.300
EEEEKEEKEEKEEKEEKEEKEEKEEKEEKEEKEEKEEKEEKEEKEEKEEKEEKEEKEE	-9.5552	0.333
EKEKEEKEEKEEKEEKEEKEEKEEKEEKEEKEEKEEKEEKEEKEEKEEKEEKEEKEE	-10.4666	0.367
EKEKEEKEEKEEKEEKEEKEEKEEKEEKEEKEEKEEKEEKEEKEEKEEKEEKEEKEE	-11.3868	0.400
EKEEKEEKEEKEEKEEKEEKEEKEEKEEKEEKEEKEEKEEKEEKEEKEEKEEKEEKEE	-12.3037	0.434
EEEEEEEEKEEKEEKEEKEEKEEKEEKEEKEEKEEKEEKEEKEEKEEKEEKEEKEEKEE	-13.2435	0.468
EEEEEEEEKEEKEEKEEKEEKEEKEEKEEKEEKEEKEEKEEKEEKEEKEEKEEKEEKEE	-14.1189	0.499
EEEEEEEEKEEKEEKEEKEEKEEKEEKEEKEEKEEKEEKEEKEEKEEKEEKEEKEEKEE	-15.0046	0.532
EEEEEEEEKEEKEEKEEKEEKEEKEEKEEKEEKEEKEEKEEKEEKEEKEEKEEKEEKEE	-15.9407	0.566
EEEEEEEEKEEKEEKEEKEEKEEKEEKEEKEEKEEKEEKEEKEEKEEKEEKEEKEEKEE	-16.9036	0.601
EEEEEEEEKEEKEEKEEKEEKEEKEEKEEKEEKEEKEEKEEKEEKEEKEEKEEKEEKEE	-17.7742	0.633
EEEEEEEEKEEKEEKEEKEEKEEKEEKEEKEEKEEKEEKEEKEEKEEKEEKEEKEEKEE	-18.6958	0.667
EEEEEEEEKEEKEEKEEKEEKEEKEEKEEKEEKEEKEEKEEKEEKEEKEEKEEKEEKEE	-19.5876	0.699
EEEEEEEEKEEKEEKEEKEEKEEKEEKEEKEEKEEKEEKEEKEEKEEKEEKEEKEEKEE	-20.5398	0.734
EEEEEEEEKEEKEEKEEKEEKEEKEEKEEKEEKEEKEEKEEKEEKEEKEEKEEKEEKEE	-21.4576	0.767
EEEEEEEEKEEKEEKEEKEEKEEKEEKEEKEEKEEKEEKEEKEEKEEKEEKEEKEEKEE	-22.3636	0.800
EEEEEEEEKEEKEEKEEKEEKEEKEEKEEKEEKEEKEEKEEKEEKEEKEEKEEKEEKEE	-23.2591	0.833
EEEEEEEEKEEKEEKEEKEEKEEKEEKEEKEEKEEKEEKEEKEEKEEKEEKEEKEEKEE	-24.1881	0.867
EEEEEEEEKEEKEEKEEKEEKEEKEEKEEKEEKEEKEEKEEKEEKEEKEEKEEKEEKEE	-25.1497	0.902
EEEEEEEEKEEKEEKEEKEEKEEKEEKEEKEEKEEKEEKEEKEEKEEKEEKEEKEEKEE	-25.9326	0.930
EEEEEEEEKEEKEEKEEKEEKEEKEEKEEKEEKEEKEEKEEKEEKEEKEEKEEKEEKEE	-26.9742	0.968
EEEEEEEEKEEKEEKEEKEEKEEKEEKEEKEEKEEKEEKEEKEEKEEKEEKEEKEEKEE	-27.8421	1.000

Figure S1: Initially generated 42 E–K sequences for chain length $N = 50$ out of which 15 were chosen for detailed investigation of their conformational and dynamical properties. The chosen 15 E–K variants (EKVs) are shown on gray background. The last two columns show the SCD and the corresponding normalized SCD (nSCD) values for each of the 42 sequences.

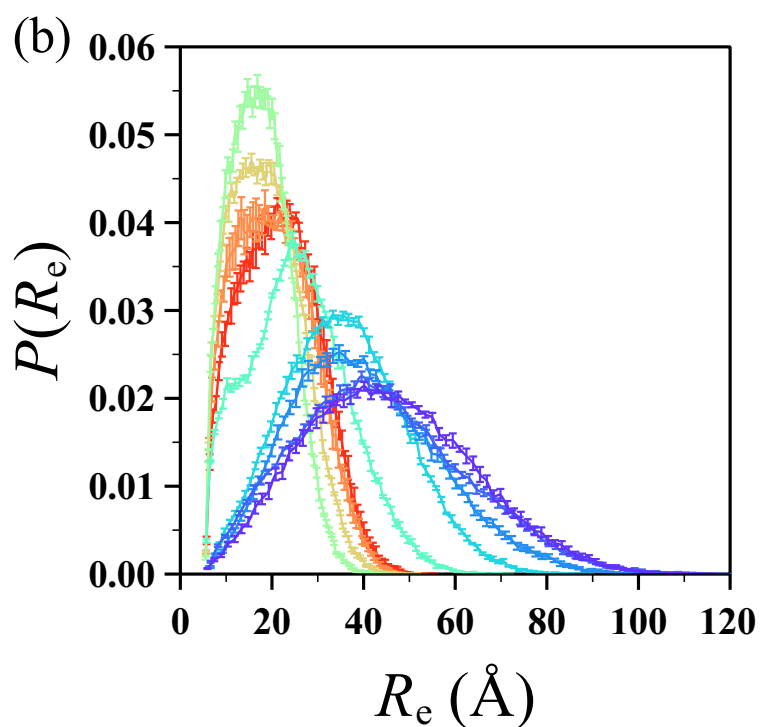
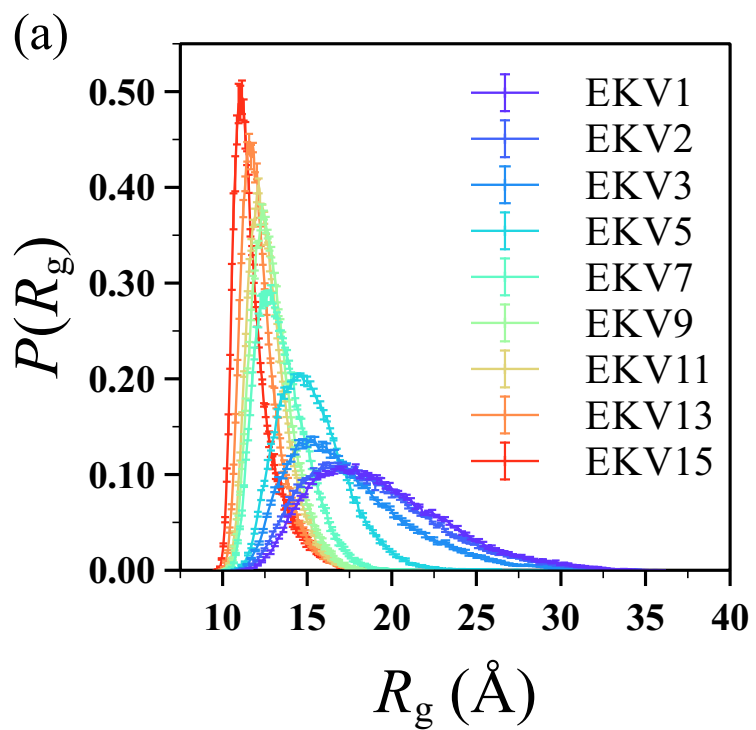


Figure S2: Probability distribution of (a) radius of gyration R_g and (b) end-to-end distance R_e for select EKVs.

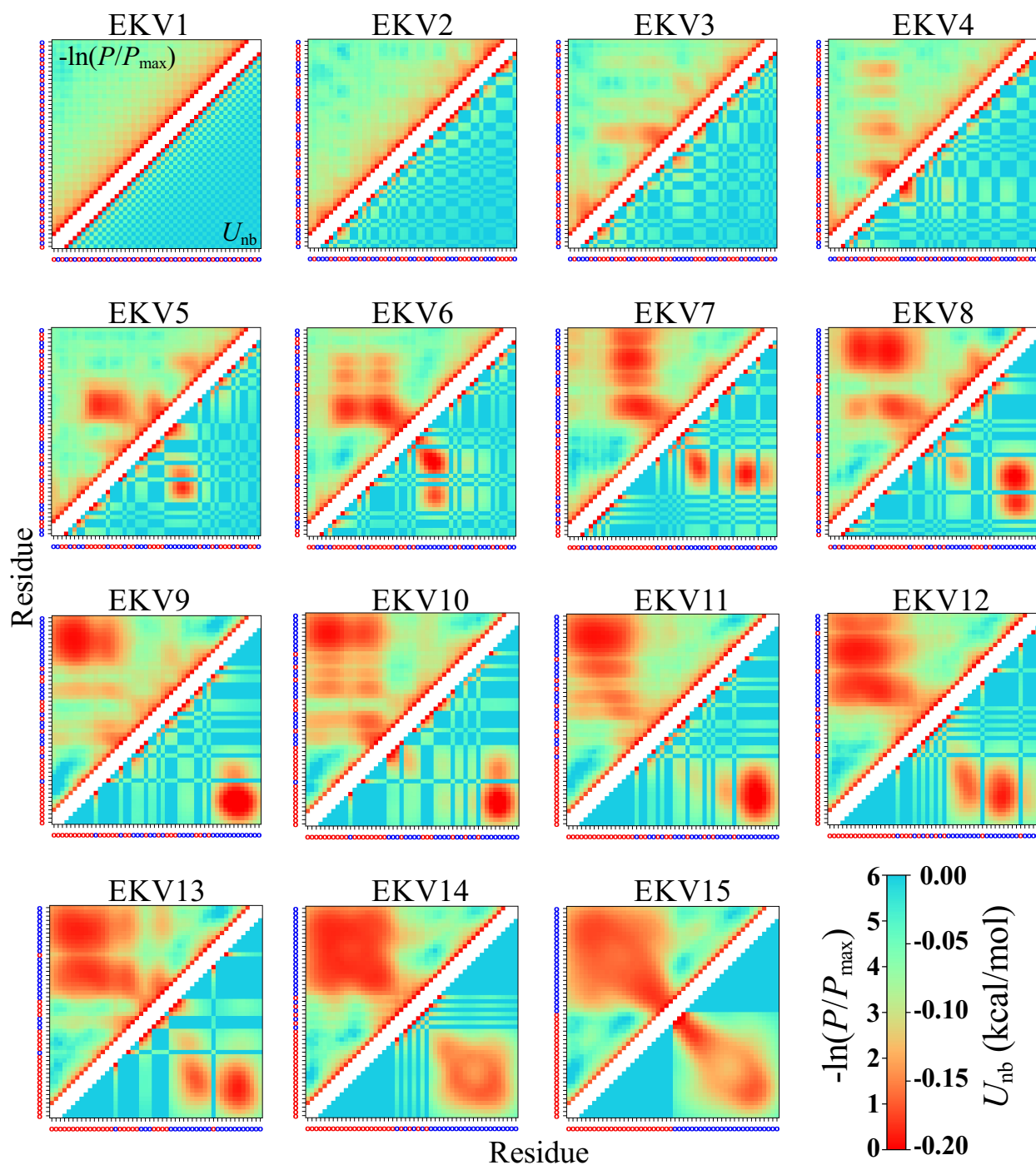


Figure S3: Interresidue distance-based contact map $-\ln(P/P_{\max})$ (above diagonal) and energy map U_{nb} (below diagonal) for all EKVs. The residue at each position is shown as a red (E) or blue (K) circle, respectively, on the axes. Two diagonals on either side of the main diagonal are removed in the maps to exclude directly bonded residues and residues that are separated by two bonds.

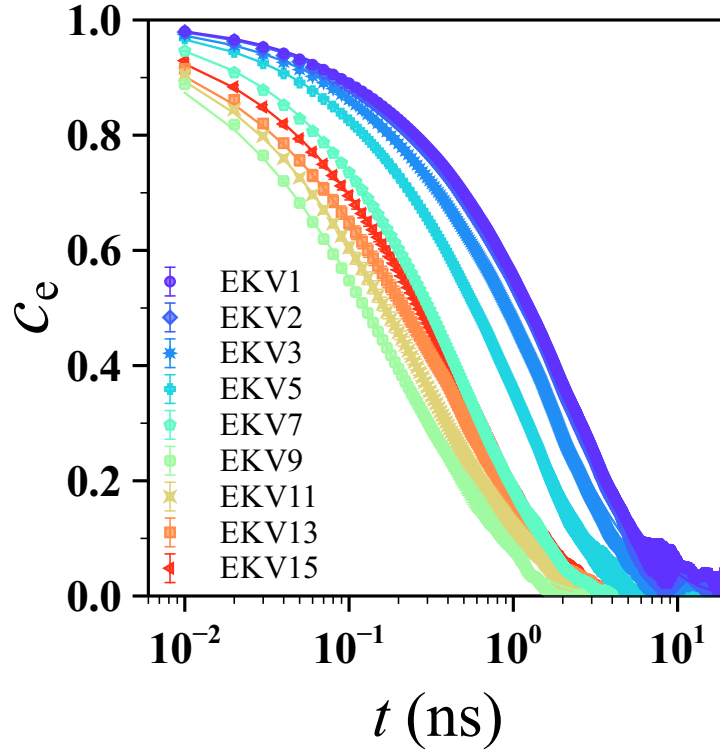


Figure S4: End-to-end vector autocorrelation function c_e as a function of time t for select EKVs.

EKV	SCD	nSCD
1	-0.4218	0.000
2	-0.8964	0.038
3	-1.3694	0.075
4	-2.0027	0.125
5	-3.1086	0.212
6	-4.0586	0.288
7	-5.4191	0.395
8	-6.2656	0.462
9	-6.4684	0.478
10	-7.2072	0.537
11	-8.9930	0.678
12	-10.3674	0.787
13	-11.7251	0.894
14	-12.3565	0.944
15	-13.0670	1.000

Figure S5: Fifteen E–K variants (EKVs) for chain length $N = 30$ with their identifying number, SCD, and normalized SCD.

EKV		SCD	nSCD
1	KE	-0.4083	0.000
2	EEKKKKEEKKKEEKEEKEEKEEKEEKEEKEEKEEKEEKEEKEEKEEKEE	-1.5473	0.025
3	KEKEEEEEKEEKKKEEKEEKEEKEEKEEKEEKEEKEEKEEKEEKEEKEE	-2.1166	0.037
4	EEKEKEKEEKEEKEEKEEKEEKEEKEEKEEKEEKEEKEEKEEKEEKEEKEE	-3.5718	0.069
5	EEKEKEKEEKEEKEEKEEKEEKEEKEEKEEKEEKEEKEEKEEKEEKEEKEE	-3.8307	0.075
6	KEEKEEKEEKEEKEEKEEKEEKEEKEEKEEKEEKEEKEEKEEKEEKEEKEE	-5.8187	0.119
7	EEKEKEKEEKEEKEEKEEKEEKEEKEEKEEKEEKEEKEEKEEKEEKEEKEE	-7.2411	0.150
8	EEEEKEEKEEKEEKEEKEEKEEKEEKEEKEEKEEKEEKEEKEEKEEKEEKEE	-9.8049	0.206
9	EEEEKEEKEEKEEKEEKEEKEEKEEKEEKEEKEEKEEKEEKEEKEEKEEKEE	-18.6332	0.400
10	EEEEEEEEEEEEEEEEKEEKEEKEEKEEKEEKEEKEEKEEKEEKEEKEEKEE	-22.1859	0.478
11	EEEEEEEEEEEEEEEEKEEKEEKEEKEEKEEKEEKEEKEEKEEKEEKEEKEE	-22.9060	0.494
12	EKEEEEEEEEEEEEEEEEEKEEKEEKEEKEEKEEKEEKEEKEEKEEKEEKEEKEE	-23.7561	0.512
13	EKEEEEEEEEEEEEEEEEEKEEKEEKEEKEEKEEKEEKEEKEEKEEKEEKEEKEE	-28.0295	0.606
14	EEEEEEEEEEEEEEEEEEEEKEEKEEKEEKEEKEEKEEKEEKEEKEEKEEKEEKEE	-42.9117	0.933
15	EE	-45.9681	1.000

Figure S6: Fifteen E–K variants (EKVs) for chain length $N = 70$ with their identifying number, SCD, and normalized SCD.

	SCD	nSCD
EEEEKEEEEEEEEEEEEEKEEKEEKEEKEEKEEKEEKEEKEEKEEKEEKEEKEE	-14.1025	0.499
EEEEKEEEEEEEEEEEEEKEEKEEKEEKEEKEEKEEKEEKEEKEEKEEKEEKEE	-14.0387	0.497
EEKEEEEEEEEEEEEEEEEEKEEKEEKEEKEEKEEKEEKEEKEEKEEKEEKEEKEE	-13.9012	0.492
EEEEKEEEEEEEEEEEEEKEEKEEKEEKEEKEEKEEKEEKEEKEEKEEKEEKEE	-13.8417	0.490
EEEEKEEEEEEEEEEEEEKEEKEEKEEKEEKEEKEEKEEKEEKEEKEEKEEKEE	-13.7130	0.485
EEEEKEEEEEEEEEEEEEKEEKEEKEEKEEKEEKEEKEEKEEKEEKEEKEEKEE	-13.5460	0.479
EEEEKEEEEEEEEEEEEEKEEKEEKEEKEEKEEKEEKEEKEEKEEKEEKEEKEE	-13.3372	0.471
EEEEKEEEEEEEEEEEEEKEEKEEKEEKEEKEEKEEKEEKEEKEEKEEKEEKEE	-13.2434	0.468
EEEEKEEEEEEEEEEEEEKEEKEEKEEKEEKEEKEEKEEKEEKEEKEEKEEKEE	-13.2135	0.467
EEEEKEEEEEEEEEEEEEKEEKEEKEEKEEKEEKEEKEEKEEKEEKEEKEEKEE	-13.1051	0.462

Figure S7: E–K sequences for chain length $N = 50$ with their SCD and normalized SCD. Unlike EKV9 and EKV10 whose nSCD values are in the similar range (nSCD ≈ 0.5), both the blocks of E and K residues do not appear at the termini in these sequences.

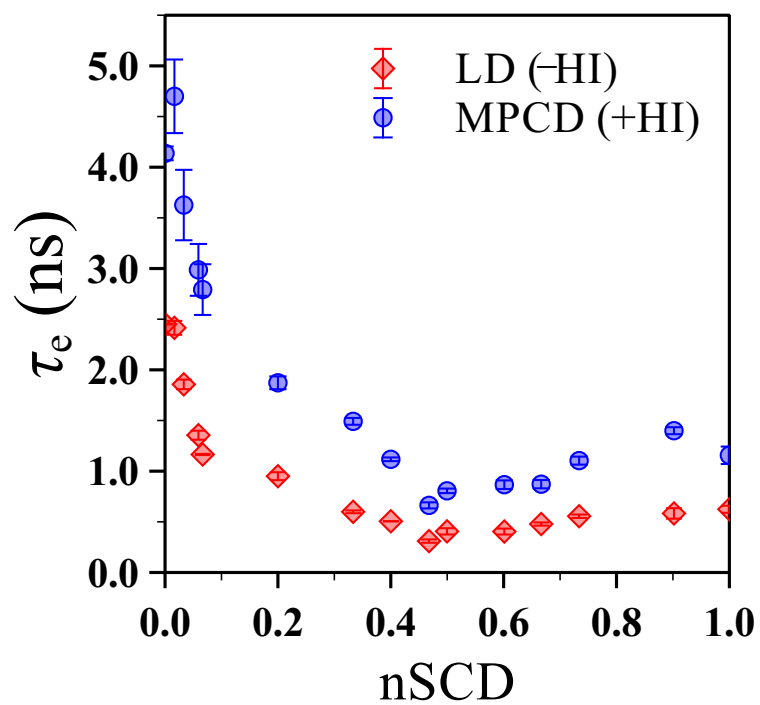


Figure S8: Relaxation time τ_e of the end-to-end vector obtained from the LD (-HI) and MPCD (+HI) simulations.